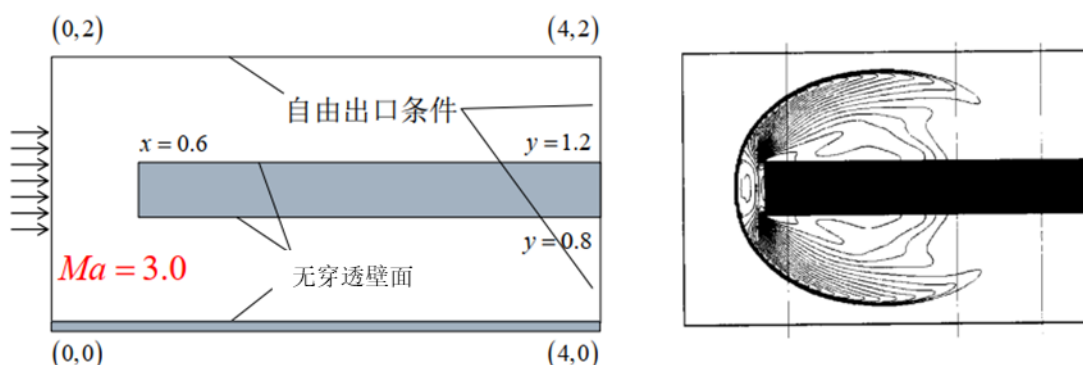


# 超声速气流绕过平头钝体流动——求解二维 Euler 方程

## 1 问题描述



初始条件参考：  $u = 3.0, v = 0, \rho = 1.0, p = 0.71429$

### [任务描述]

基于二维Euler方程求非定常解，边界和初始条件见上页。

计算区域：  $x \in [0, 4], y \in [0, 2]$

### [要求]

网格形式自定。

空间格式需采用一种满足TVD的2阶格式或高阶格式，时间积分采用2阶或3阶TVD型Runge-Kutta方法。

可分析不同网格密度、不同限制器或其它方面对模拟结果的影响（可加分）。

## 2 问题分析

### 2.1 守恒型控制方程及其特征分析

二维守恒型 Euler 方程的无量纲形式如下：

$$\frac{\partial \mathbf{u}}{\partial t} + \frac{\partial \mathbf{f}}{\partial x} + \frac{\partial \mathbf{g}}{\partial y} = 0 \quad (1)$$

$$\mathbf{u} = \begin{pmatrix} \rho \\ \rho u \\ \rho v \\ E \end{pmatrix}, \mathbf{f} = \begin{pmatrix} \rho u \\ \rho u^2 + p \\ \rho uv \\ (E + p)u \end{pmatrix}, \mathbf{g} = \begin{pmatrix} \rho v \\ \rho uv \\ \rho v^2 + p \\ (E + p)v \end{pmatrix} \quad (2)$$

理想气体状态方程：

$$p = (\gamma - 1) \rho e = (\gamma - 1) \left[ E - \frac{1}{2} \rho (u^2 + v^2) \right] \quad (3)$$

上述方程(1)-(3)已经封闭，下面补充在计算过程中可能用到的换算公式：内能和焓的计算公式：

$$E = \rho e + \frac{1}{2} \rho (u^2 + v^2) = \frac{p}{\gamma - 1} + \frac{1}{2} \rho (u^2 + v^2) = \frac{\rho R T}{\gamma - 1} + \frac{1}{2} \rho (u^2 + v^2) \quad (4)$$

$$e = \frac{p}{(\gamma - 1) \rho} = c_v T = \frac{1}{\gamma - 1} R T \quad (5)$$

$$h = e + \frac{p}{\rho} = c_p T = \frac{\gamma}{\gamma - 1} R T$$

将守恒型方程写成非守恒形式：

$$\frac{\partial \mathbf{u}}{\partial t} + \mathbf{A} \frac{\partial \mathbf{u}}{\partial x} + \mathbf{B} \frac{\partial \mathbf{u}}{\partial y} = 0 \quad (6)$$

$$\frac{\partial \mathbf{f}}{\partial x} = \mathbf{A} \frac{\partial \mathbf{u}}{\partial x}, \quad \frac{\partial \mathbf{g}}{\partial y} = \mathbf{B} \frac{\partial \mathbf{u}}{\partial y} \quad (7)$$

非线性 Jacobian 系数矩阵：

$$\mathbf{A}(\mathbf{u}) = \frac{\partial \mathbf{f}}{\partial \mathbf{u}} = \begin{pmatrix} 0 & 1 & 0 & 0 \\ \frac{\gamma-3}{2} u^2 + \frac{\gamma-1}{2} v^2 & (3-\gamma)u & (1-\gamma)v & \gamma-1 \\ -uv & v & u & 0 \\ u \left[ \frac{\gamma-2}{2} (u^2 + v^2) - \frac{a^2}{\gamma-1} \right] & \frac{3-2\gamma}{2} u^2 + \frac{1}{2} v^2 + \frac{a^2}{\gamma-1} & (1-\gamma)uv & \gamma u \end{pmatrix}$$

$$\mathbf{B}(\mathbf{u}) = \frac{\partial \mathbf{g}}{\partial \mathbf{u}} = \begin{pmatrix} 0 & 0 & 1 & 0 \\ -uv & v & u & 0 \\ \frac{\gamma-1}{2} u^2 + \frac{\gamma-3}{2} v^2 & (1-\gamma)u & (3-\gamma)v & \gamma-1 \\ v \left[ \frac{\gamma-2}{2} (u^2 + v^2) - \frac{a^2}{\gamma-1} \right] & (1-\gamma)uv & \frac{1}{2} u^2 + \frac{3-2\gamma}{2} v^2 + \frac{a^2}{\gamma-1} & \gamma v \end{pmatrix} \quad (8)$$

系数矩阵的特征值及左右特征矢量分别为：

$$\mathbf{A}_x = \mathbf{R}^{-1} \mathbf{A} \mathbf{L}^{-1} = \begin{pmatrix} \lambda_1 & & & \\ & \lambda_2 & & \\ & & \lambda_3 & \\ & & & \lambda_4 \end{pmatrix} = \begin{pmatrix} u & & & \\ & u & & \\ & & u-a & \\ & & & u+a \end{pmatrix}$$

$$\mathbf{A}_y = \mathbf{R}^{-1} \mathbf{B} \mathbf{L}^{-1} = \begin{pmatrix} \mu_1 & & & \\ & \mu_2 & & \\ & & \mu_3 & \\ & & & \mu_4 \end{pmatrix} = \begin{pmatrix} v & & & \\ & v & & \\ & & v-a & \\ & & & v+a \end{pmatrix} \quad (9)$$

$$\begin{aligned} \mathbf{A} \mathbf{R}_x &= \lambda \mathbf{R}_x, \mathbf{B} \mathbf{R}_y = \mu \mathbf{R}_y \\ \mathbf{L}_x \mathbf{A} &= \lambda \mathbf{L}_x, \mathbf{L}_y \mathbf{B} = \mu \mathbf{L}_y \\ \mathbf{L}_x \mathbf{R}_x &= \mathbf{I}, \mathbf{L}_y \mathbf{R}_y = \mathbf{I} \end{aligned} \quad (10)$$

$$\begin{aligned}
\mathbf{R}_x &= \begin{pmatrix} 1 & 0 & 1 & 1 \\ u & 0 & u-a & u+a \\ 0 & 1 & v & v \\ \frac{1}{2}(u^2-v^2) & v & h-au & h+au \end{pmatrix} \\
\mathbf{R}_y &= \begin{pmatrix} 0 & 1 & 1 & 1 \\ 1 & 0 & u & u \\ 0 & v & v-a & v+a \\ u & \frac{1}{2}(v^2-u^2) & h-av & h+av \end{pmatrix}
\end{aligned} \tag{11}$$

$$\begin{aligned}
\mathbf{L}_x &= \begin{pmatrix} 1-b_1 & b_2u & b_2v & -b_2 \\ -b_1v & b_2uv & 1+b_2v^2 & -b_2v \\ \frac{1}{2}\left(b_1+\frac{u}{a}\right) & -\frac{1}{2}\left(b_2u+\frac{1}{a}\right) & -\frac{1}{2}b_2v & \frac{1}{2}b_2 \\ \frac{1}{2}\left(b_1-\frac{u}{a}\right) & -\frac{1}{2}\left(b_2u-\frac{1}{a}\right) & -\frac{1}{2}b_2v & \frac{1}{2}b_2 \end{pmatrix} \\
\mathbf{L}_y &= \begin{pmatrix} -b_1u & 1+b_2u^2 & b_2uv & -b_2u \\ 1-b_1 & b_2u & b_2v & -b_2 \\ \frac{1}{2}\left(b_1+\frac{v}{a}\right) & -\frac{1}{2}b_2u & -\frac{1}{2}\left(b_2v+\frac{1}{a}\right) & \frac{1}{2}b_2 \\ \frac{1}{2}\left(b_1-\frac{v}{a}\right) & -\frac{1}{2}b_2u & -\frac{1}{2}\left(b_2v-\frac{1}{a}\right) & \frac{1}{2}b_2 \end{pmatrix}, \quad b_1 = b_2 \frac{(u^2+v^2)}{2}, b_2 = \frac{\gamma-1}{a^2}
\end{aligned} \tag{12}$$

$$\begin{aligned}
\mathbf{f} &= \mathbf{A}\mathbf{u} = \mathbf{R}_x \mathbf{A}_x \mathbf{L}_x \mathbf{u} = \mathbf{R}_x \mathbf{A}_x \mathbf{R}_x^{-1} \mathbf{u} \\
\mathbf{g} &= \mathbf{B}\mathbf{u} = \mathbf{R}_y \mathbf{A}_y \mathbf{L}_y \mathbf{u} = \mathbf{R}_y \mathbf{A}_y \mathbf{R}_y^{-1} \mathbf{u}
\end{aligned} \tag{13}$$

## 2.2 二维问题的算子分裂算法

对于二维 Euler 方程，采用算子分裂算法将其分裂成两个一维问题：

第一个半时间步：

$$\frac{1}{2} \frac{\partial \mathbf{u}}{\partial t} + \frac{\partial \mathbf{f}}{\partial x} = 0 \tag{14}$$

第二个半时间步：

$$\frac{1}{2} \frac{\partial \mathbf{u}}{\partial t} + \frac{\partial \mathbf{g}}{\partial y} = 0 \tag{15}$$

在求解时，对两个一维问题进行求解，按照两步对流场进行更新，以下介绍一维问题的求解方法。

## 2.3 一维守恒型方程的求解步骤

本文分别采用二阶 MUSCL 格式（Roe、vanLeer 和 Steger-Warming 通量格式）和 5 阶

精度 WENO 和 5 阶精度 WCNS 格式（Roe 通量格式）进行离散求解，时间积分可以采用 2 阶或者 3 阶 TVD 型 Runge-Kutta 方法。

**守恒型方程求解步骤为：**

- （1）网格半节点处插值，MUSCL 插值或高阶插值；
- （2）半节点处通量计算，Roe 格式或 WENO 的高阶通量插值；
- （3）半节点处空间导数计算；
- （4）时间积分过程。

以下按步骤对 3 种格式进行分析，编程时将 3 种方法写成统一步骤，只是调用不同的函数。

### 2.3.1 半节点插值方法

#### （1）MUSCL 方法

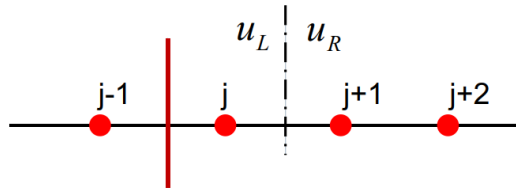
半节点处的变量值通过整数节点处的变量值插值得到：

$$\begin{aligned} u_{j+1/2}^L &= u_j + \frac{\varepsilon}{4} \left[ (1-\kappa) \Delta u_{j-1/2} + (1+\kappa) \Delta u_{j+1/2} \right] \\ u_{j+1/2}^R &= u_{j+1} - \frac{\varepsilon}{4} \left[ (1-\kappa) \Delta u_{j+3/2} + (1+\kappa) \Delta u_{j+1/2} \right] \end{aligned} \quad (16)$$

$$\begin{aligned} \Delta u_{j+1/2} &= u_{j+1} - u_j \\ \Delta u_{j-1/2} &= u_j - u_{j-1} \end{aligned} \quad (17)$$

当  $\varepsilon = 0$  时，为 0 阶插值，得到一阶迎风格式。

当  $\varepsilon = 1$  时， $\kappa = -1$  为二阶完全迎风格式； $\kappa = 0$  为二阶迎风偏置格式； $\kappa = 1/3$  时为二阶迎风偏置格式（三点插值，截断误差比  $\kappa = -1$  和  $\kappa = 0$  都小）； $\kappa = 1$  时为中心差分格式。 $\kappa = 0$  和  $\kappa = 1/3$  是最常用的格式。



在遇到激波时，还需要对 MUSCL 插值格式施加限制器，抑制激波可能导致的数值振荡。引入限制器对  $\Delta u_{j-1/2}$  和  $\Delta u_{j+1/2}$  进行限制，带限制器的 MUSCL 格式可写为：

$$\begin{aligned} u_{j+1/2}^L &= u_j + \frac{1}{4} \left[ (1-\kappa) \phi(\eta_{j-1/2}^+) \Delta u_{j-1/2} + (1+\kappa) \phi(\eta_{j+1/2}^-) \Delta u_{j+1/2} \right] \\ u_{j+1/2}^R &= u_{j+1} - \frac{1}{4} \left[ (1-\kappa) \phi(\eta_{j+3/2}^-) \Delta u_{j+3/2} + (1+\kappa) \phi(\eta_{j+1/2}^+) \Delta u_{j+1/2} \right] \end{aligned} \quad (18)$$

$$\begin{aligned}
\eta_{j+\frac{1}{2}}^- &= \frac{\Delta u_{j-\frac{1}{2}}^n}{\Delta u_{j+\frac{1}{2}}^n} = \frac{u_j^n - u_{j-1}^n}{u_{j+1}^n - u_j^n}, \quad \eta_{j+\frac{1}{2}}^+ = \frac{\Delta u_{j+\frac{3}{2}}^n}{\Delta u_{j+\frac{1}{2}}^n} = \frac{u_{j+2}^n - u_{j+1}^n}{u_{j+1}^n - u_j^n} \\
\eta_{j+\frac{3}{2}}^- &= \frac{\Delta u_{j+\frac{1}{2}}^n}{\Delta u_{j+\frac{3}{2}}^n} = \frac{u_{j+1}^n - u_j^n}{u_{j+2}^n - u_{j+1}^n} = \frac{1}{\eta_{j+\frac{1}{2}}^+} \\
\eta_{j-\frac{1}{2}}^+ &= \frac{\Delta u_{j+\frac{1}{2}}^n}{\Delta u_{j-\frac{1}{2}}^n} = \frac{u_{j+1}^n - u_j^n}{u_j^n - u_{j-1}^n} = \frac{1}{\eta_{j+\frac{1}{2}}^-}
\end{aligned} \tag{19}$$

限制器  $\varphi(\eta)$  可以取多种形式，常用的限制器包括：Van Leer, minmod, superbee 等等。其形式如下：

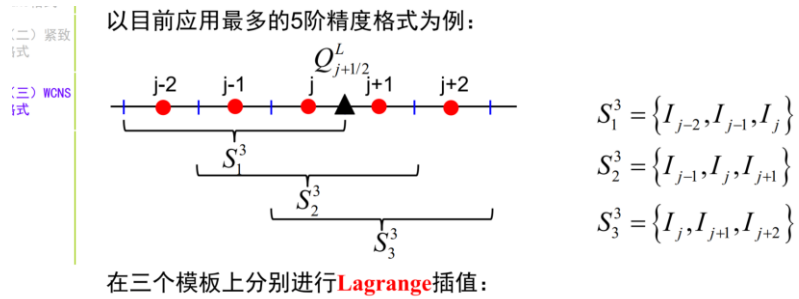
$$\begin{cases}
\text{SUPERBEE} & \psi(r_f) = \max(0, \min(1, 2r_f), \min(2, r_f)) \\
\text{MINMOD} & \psi(r_f) = \max(0, \min(1, r_f)) \\
\text{OSHER} & \psi(r_f) = \max(0, \min(2, r_f)) \\
\text{Van Leer} & \psi(r_f) = \frac{r_f + |r_f|}{1 + |r_f|} \\
\text{MUSCL} & \psi(r_f) = \max(0, \min(2r_f, (r_f + 1)/2, 2))
\end{cases} \tag{12.44}$$

## (2) WENO 方法

WENO 方法直接对半节点处通量进行插值，因此无需进行变量插值。

## (3) WCNS 方法

WCNS 格式首先需要在 3 个模板上对半节点处的原始变量进行加权插值，然后通过 Roe 通量格式计算半节点处的通量值。



$$Q_{j+1/2}^L = Q_j + (x - x_j)g_j + \frac{1}{2}(x - x_j)^2 s_j \Rightarrow Q_{j+1/2}^L = Q_j + \frac{\Delta x}{2}g_j + \frac{\Delta x^2}{8}s_j$$

$$\begin{aligned}
g_j^0 &= \frac{1}{2\Delta x}(Q_{j-2} - 4Q_{j-1} + 3Q_j) & s_j^0 &= \frac{1}{\Delta x^2}(Q_{j-2} - 2Q_{j-1} + Q_j) \\
g_j^1 &= \frac{1}{2\Delta x}(Q_{j+1} - Q_{j-1}) & s_j^1 &= \frac{1}{\Delta x^2}(Q_{j-1} - 2Q_j + Q_{j+1}) \\
g_j^2 &= \frac{1}{2\Delta x}(-3Q_j + 4Q_{j+1} - Q_{j+2}) & s_j^2 &= \frac{1}{\Delta x^2}(Q_j - 2Q_{j+1} + Q_{j+2})
\end{aligned}$$

对不同模板赋予比重（权系数）：

$$Q_{j+1/2}^L = \sum_{k=0}^2 \omega_k^L Q_{j+1/2}^{L,k}, \quad \sum_{k=0}^2 \omega_k^L = 1$$

权系数采用WENO计算方式：

$$\omega_k = \frac{\alpha_k}{\alpha_0 + \alpha_1 + \alpha_2}, \quad \alpha_k = \frac{C_k^r}{(\varepsilon + IS_k)^2}, \quad (k = 0, 1, 2)$$

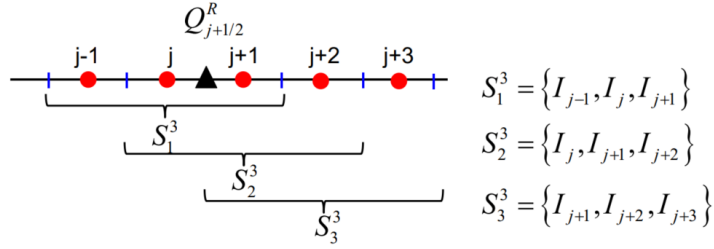
光滑因子为：

$$IS_k = (\Delta x \cdot g_j^k)^2 + (\Delta x^2 \cdot s_j^k)^2$$

最优权为：

$$C_0^L = \frac{1}{16}, C_1^L = \frac{10}{16}, C_2^L = \frac{5}{16}$$

对于  $Q_{j+1/2}^R$ ，类似地进行插值：



半节点处原始变量右值（过程略）：

$$Q_{j+1/2}^R = Q_{j+1} - \frac{\Delta x}{2} g_{j+1} + \frac{\Delta x^2}{8} s_{j+1}$$

$g_{j+1}$  和  $s_{j+1}$  的求法与上面相同。同样，对不同模板进行加权：

$$Q_{j+1/2}^R = \sum_{k=0}^2 \omega_k^R Q_{j+1/2}^{R,k}, \quad \sum_{k=0}^2 \omega_k^R = 1$$

加权系数的求法：

$$\omega_k^R = \frac{\alpha_k^R}{\alpha_0^R + \alpha_1^R + \alpha_2^R}, \quad \alpha_k^R = \frac{C_k^R}{(\varepsilon + IS_k^R)^2}, \quad (k = 0, 1, 2)$$

$$C_1^R = \frac{5}{16}, C_2^R = \frac{10}{16}, C_3^R = \frac{1}{16}, \varepsilon = 10^{-6}$$

### 2.3.2 半节点通量计算

#### (1) Roe 方法

本文中 MUSCL 方法和 WCNS 均采用 Roe 格式计算半节点处的通量值。

Roe 方法是一种近似 Riemann 解法，其对半节点处的精确通量进行近似，半节点处精确通量为：

$$\hat{F} = \frac{1}{2} [F(Q_L) + F(Q_R) - |A(Q_L, Q_R)| \cdot (Q_R - Q_L)] \quad (20)$$

Roe 格式对其中的精确雅可比矩阵  $A(Q_L, Q_R)$  进行近似，用 Roe 平均量代替原始变量，得到近似雅可比矩阵  $\tilde{A}(Q_L, Q_R) = A(\bar{Q}_{Roe})$ ，其中 Roe 平均变量为：

$$\bar{\rho}_{roe} = \sqrt{\rho_L \rho_R}, \quad \bar{u}_{roe} = \frac{u_L + Du_R}{1+D}, \quad \bar{H}_{roe} = \frac{H_L + DH_R}{1+D}, \quad D = \sqrt{\frac{\rho_R}{\rho_L}} \quad (21)$$

$$\bar{c}_{roe} = \sqrt{(\gamma-1) \left[ \bar{H}_{roe} - \frac{(\bar{u}_{roe})^2 + (\bar{v}_{roe})^2 + (\bar{w}_{roe})^2}{2} \right]}$$

为了求  $|\tilde{A}(Q_L, Q_R)|$ ，对  $\tilde{A}(Q_L, Q_R) = A(\bar{Q}_{roe})$  进行特征分解：

$$A(\bar{Q}_{roe}) = L^{-1} \bar{\Lambda}_{roe} L \quad (22)$$

则：

$$|\tilde{A}(Q_L, Q_R)| = |A(\bar{Q}_{roe})| = L^{-1} |\bar{\Lambda}_{roe}| L \quad (23)$$

由此可得到半节点处的通量值。同时，为了避免 Carbuncle 现象，需要引入熵修正，对特征值进行修正。本文采用 Harten 型的熵修正：

$$\lambda = \begin{cases} |\lambda| & |\lambda| \geq \varepsilon \\ \frac{\lambda^2 + \varepsilon^2}{2\varepsilon} & |\lambda| < \varepsilon \end{cases} \quad (24)$$

$\varepsilon$  为小量，一般取  $0 \leq \varepsilon \leq 0.125$ 。

### (2) vanLeer 通量分裂法

略去，可参考文献。

### (3) WENO 方法

与 MUSCL 方法和 WCNS 方法不同，WENO 方法直接对半节点处的通量进行插值。

首先对通矢量进行分裂，计算得到整数节点处的正负通量，然后采用 WENO 格式分别插值半节点处的正通量和负通量。

本文采用 Steger-Warming 通量分裂方法，按照特征值的正负来分裂：

$$F = AU = L^{-1} (\Lambda^+ + \Lambda^-) LU = L^{-1} \Lambda^+ LU + L^{-1} \Lambda^- LU = F^+ + F^- \quad (25)$$

两个方向的特征值可以分裂为：

$$\lambda_i^\pm = \frac{1}{2} (\lambda_i \pm \sqrt{\lambda_i^2 + \varepsilon^2})$$

$$\mu_j^\pm = \frac{1}{2} (\mu_j \pm \sqrt{\mu_j^2 + \varepsilon^2}) \quad (26)$$

其中  $\lambda_i$ ， $\mu_j$  分别为两个方向的特征值， $i, j = 1, 2, 3, 4$ ， $\varepsilon$  为小量，取为  $\varepsilon = 10^{-4}$ 。

根据特征值的正负可以将通量分裂为正负两部分：

$$\begin{aligned}
\mathbf{f}^\pm(\mathbf{u}) &= \frac{\rho}{2\gamma} \begin{pmatrix} 2(\gamma-1)\lambda_1^\pm + \lambda_3^\pm + \lambda_4^\pm \\ 2(\gamma-1)u\lambda_1^\pm + (u-a)\lambda_3^\pm + (u+a)\lambda_4^\pm \\ 2(\gamma-1)v\lambda_1^\pm + v\lambda_3^\pm + v\lambda_4^\pm \\ (\gamma-1)(u^2+v^2)\lambda_1^\pm + (h-au)\lambda_3^\pm + (h+au)\lambda_4^\pm \end{pmatrix} \\
\mathbf{g}^\pm(\mathbf{u}) &= \frac{\rho}{2\gamma} \begin{pmatrix} 2(\gamma-1)\mu_1^\pm + \mu_3^\pm + \mu_4^\pm \\ 2(\gamma-1)u\mu_1^\pm + u\mu_3^\pm + u\mu_4^\pm \\ 2(\gamma-1)v\mu_1^\pm + (v-a)\mu_3^\pm + (v+a)\mu_4^\pm \\ (\gamma-1)(u^2+v^2)\mu_1^\pm + (h-av)\mu_3^\pm + (h+av)\mu_4^\pm \end{pmatrix}
\end{aligned} \tag{27}$$

以下考虑采用 WENO 插值求解半节点处的正负通量值。

当  $\hat{f}' > 0$  时, 数值通量为  $\hat{f}_{j+1/2}^+$ ; 当  $\hat{f}' < 0$  时, 数值通量为  $\hat{f}_{j+1/2}^-$ ; 它们的模板  $S_k^\pm$  分别为:

$$\begin{aligned}
S_0^+ &= \{x_{j-2}, x_{j-1}, x_j\} & S_0^- &= \{x_{j-1}, x_j, x_{j+1}\} \\
S_1^+ &= \{x_{j-1}, x_j, x_{j+1}\} & S_1^- &= \{x_j, x_{j+1}, x_{j+2}\} \\
S_2^+ &= \{x_j, x_{j+1}, x_{j+2}\} & S_2^- &= \{x_{j+1}, x_{j+2}, x_{j+3}\}
\end{aligned} \tag{28}$$

线性插值函数多项式为:

$$\begin{aligned}
q_0^+(x_{j+1/2}) &= \frac{1}{3}f_{j-2}^+ - \frac{7}{6}f_{j-1}^+ + \frac{11}{6}f_j^+ & q_0^-(x_{j+1/2}) &= -\frac{1}{6}f_{j-1}^- + \frac{5}{6}f_j^- + \frac{1}{3}f_{j+1}^- \\
q_1^+(x_{j+1/2}) &= -\frac{1}{6}f_{j-1}^+ + \frac{5}{6}f_j^+ + \frac{1}{3}f_{j+1}^+ & q_1^-(x_{j+1/2}) &= \frac{1}{3}f_j^- + \frac{5}{6}f_{j+1}^- - \frac{1}{6}f_{j+2}^- \\
q_2^+(x_{j+1/2}) &= \frac{1}{3}f_j^+ + \frac{5}{6}f_{j+1}^+ - \frac{1}{6}f_{j+2}^+ & q_2^-(x_{j+1/2}) &= \frac{11}{6}f_{j+1}^- - \frac{7}{6}f_{j+2}^- + \frac{1}{3}f_{j+3}^-
\end{aligned} \tag{29}$$

光滑因子计算公式:

$$\begin{aligned}
IS_0^+ &= \frac{13}{12}(f_{j-2}^+ - 2f_{j-1}^+ + f_j^+)^2 + \frac{1}{4}(f_{j-2}^+ - 4f_{j-1}^+ + 3f_j^+)^2 \\
IS_1^+ &= \frac{13}{12}(f_{j-1}^+ - 2f_j^+ + f_{j+1}^+)^2 + \frac{1}{4}(f_{j-1}^+ - f_{j+1}^+)^2 \\
IS_3^+ &= \frac{13}{12}(f_j^+ - 2f_{j+1}^+ + f_{j+2}^+)^2 + \frac{1}{4}(3f_j^+ - 4f_{j+1}^+ + f_{j+2}^+)^2
\end{aligned} \tag{30}$$

$$\begin{aligned}
IS_0^- &= \frac{13}{12}(f_{j-1}^- - 2f_j^- + f_{j+1}^-)^2 + \frac{1}{4}(f_{j-1}^- - 4f_j^- + 3f_{j+1}^-)^2 \\
IS_1^- &= \frac{13}{12}(f_j^- - 2f_{j+1}^- + f_{j+2}^-)^2 + \frac{1}{4}(f_j^- - f_{j+2}^-)^2 \\
IS_3^- &= \frac{13}{12}(f_{j+1}^- - 2f_{j+2}^- + f_{j+3}^-)^2 + \frac{1}{4}(3f_{j+1}^- - 4f_{j+2}^- + f_{j+3}^-)^2
\end{aligned} \tag{31}$$

权重系数如下:

$$\omega_k^+ = \frac{\alpha_k^+}{\alpha_0^+ + \alpha_1^+ + \alpha_2^+}, \quad \alpha_k^+ = \frac{C_k^+}{(\varepsilon + IS_k^+)^p}, \quad (k=0,1,2) \tag{32}$$

$$\omega_k^- = \frac{\alpha_k^-}{\alpha_0^- + \alpha_1^- + \alpha_2^-}, \quad \alpha_k^- = \frac{C_k^-}{(\varepsilon + IS_k^-)^p}, \quad (k=0,1,2) \tag{33}$$



其中  $p$  为大于 2 的正整数，组合系数  $C_k^+$  和  $C_k^-$  为：

$$C_0^+ = \frac{1}{10}, C_1^+ = \frac{3}{5}, C_2^+ = \frac{3}{10}, C_0^- = \frac{3}{10}, C_1^- = \frac{3}{5}, C_2^- = \frac{1}{10} \quad (34)$$

半节点处通量值为：

$$\hat{f}_{j+1/2} = \hat{f}_{j+1/2}^+ + \hat{f}_{j+1/2}^- \quad (35)$$

$$\begin{aligned} \hat{f}_{j+1/2}^+ &= \sum_{k=0}^2 \omega_k^+ q_k^+ (f_{j-2}^+, f_{j-1}^+, f_j^+, f_{j+1}^+, f_{j+2}^+) \\ \hat{f}_{j+1/2}^- &= \sum_{k=0}^2 \omega_k^- q_k^- (f_{j-1}^-, f_j^-, f_{j+1}^-, f_{j+2}^-, f_{j+3}^-) \end{aligned} \quad (36)$$

### 2.3.3 空间导数计算

以下仅以  $x$  方向空间导数为例，写出其空间导数的形式，其在  $y$  和  $z$  方向的形式类似。

(1) MUSCL 方法

$$F_j' = -\frac{1}{\Delta x} (\hat{F}_{j+1/2} - \hat{F}_{j-1/2}) \quad (37)$$

(2) WENO5 格式

$$F_j' = -\frac{1}{\Delta x} (\hat{F}_{j+1/2} - \hat{F}_{j-1/2}) \quad (38)$$

(3) WCNS-E6E5 格式

$$\begin{aligned} F_j' &= \frac{a}{\Delta x} (\hat{F}_{j+1/2} - \hat{F}_{j-1/2}) + \frac{b}{\Delta x} (\hat{F}_{j+3/2} - \hat{F}_{j-3/2}) + \frac{c}{\Delta x} (\hat{F}_{j+5/2} - \hat{F}_{j-5/2}) \\ a &= \frac{75}{64}, b = -\frac{25}{384}, c = \frac{3}{640} \end{aligned} \quad (39)$$

在边界附近，需要在 1、2 节点上采用边界、近边界差分格式，这里给出左边界形式，右边界类似，对于 WCNS-E6E5 格式，边界附近 1、2 点的通量 4 阶精度差分值为：

$$\begin{aligned} F_1' &= \frac{1}{\Delta x} \left( -\frac{11}{12} \hat{F}_{1/2} + \frac{17}{24} \hat{F}_{3/2} + \frac{3}{8} \hat{F}_{5/2} - \frac{5}{24} \hat{F}_{7/2} + \frac{1}{24} \hat{F}_{9/2} \right) \\ F_2' &= \frac{1}{\Delta x} \left( \frac{1}{24} \hat{F}_{1/2} - \frac{9}{8} \hat{F}_{3/2} + \frac{9}{8} \hat{F}_{5/2} - \frac{1}{24} \hat{F}_{7/2} \right) \end{aligned} \quad (40)$$

在边界附近的 5 阶精度插值公式为：

$$\begin{aligned} q_{1/2} &= \frac{1}{128} (315q_1 - 420q_2 + 378q_3 - 180q_4 + 35q_5) \\ q_{3/2} &= \frac{1}{128} (35q_1 + 140q_2 - 70q_3 + 28q_4 - 5q_5) \end{aligned} \quad (41)$$

### 2.3.4 时间导数计算

时间 3 阶精度的 TVD Runge-Kutta 方法:

$$\begin{aligned}
 \mathbf{U}^{(0)} &= \mathbf{U}^n \\
 \mathbf{U}^{(1)} &= \mathbf{U}^{(0)} + \Delta t \mathbf{R}^n(\mathbf{U}^{(0)}) \\
 \mathbf{U}^{(2)} &= \frac{3}{4} \mathbf{U}^{(0)} + \frac{1}{4} \mathbf{U}^{(1)} + \frac{1}{4} \Delta t \mathbf{R}^n(\mathbf{U}^{(1)}) \\
 \mathbf{U}^{(3)} &= \frac{1}{3} \mathbf{U}^{(0)} + \frac{2}{3} \mathbf{U}^{(2)} + \frac{2}{3} \Delta t \mathbf{R}^n(\mathbf{U}^{(2)}) \\
 \mathbf{U}^{n+1} &= \mathbf{U}^{(3)}
 \end{aligned} \tag{42}$$

用此方法进行计算时的稳定 CFL 数为 1.0。

## 2.4 网格设置

全场生成规则结构网格，设置两层虚拟点， $x$  方向的虚拟点设置如图所示。

内场变量点（蓝色）坐标索引范围为 $[\text{ist} \Rightarrow \text{ied}]$ ,  $[\text{jst} \Rightarrow \text{jed}]$ ;

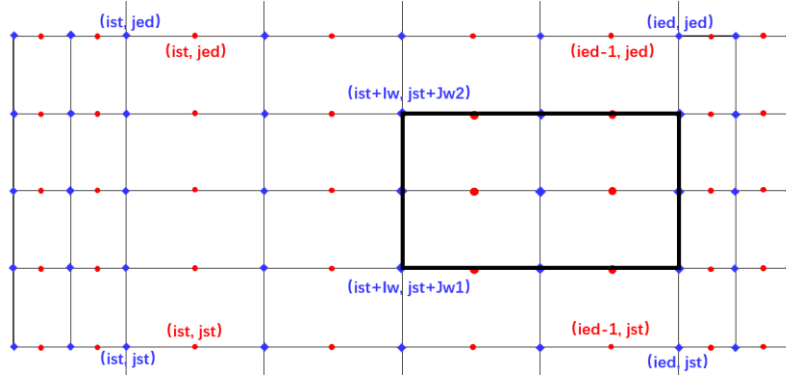
内场通量点（红色）坐标索引范围为 $[\text{ist} \Rightarrow \text{ied}-1]$ ,  $[\text{jst} \Rightarrow \text{jed}-1]$ ;

变量虚拟点为: 0, 1,  $\text{ied}+1$ ,  $\text{ied}+2$

通量虚拟点为: 0, 1,  $\text{ied}$ ,  $\text{ied}+1$

其中，钝体物面的坐标索引范围为:  $[\text{ist}+\text{Iw} \Rightarrow \text{ied}]$ ,  $[\text{jst}+\text{Jw1} \Rightarrow \text{jst}+\text{Jw2}]$

在物面内的变量点和通量点分别标记，在计算时跳过，仅仅为计算过程提供虚拟点的变量值和通量，但是不参与更新。



## 2.5 初值、边界条件设置

初值:

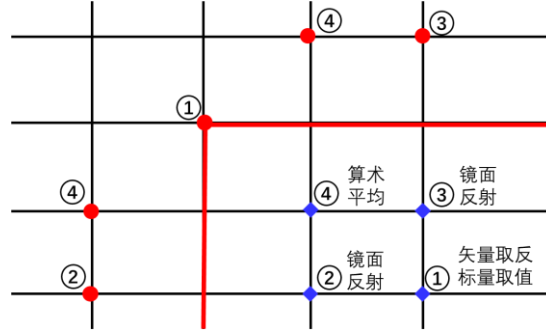
$$\rho = 1.0, u = 3.0, v = 0, p = 0.71429$$

边界条件:

- (1) 左边界: 给定均匀来流;
- (2) 上边界、右边界: 变量一阶导数为 0;

(3) 物面、下边界：无滑移壁面，标量直接取值，矢量取镜像，即：压力密度一阶导数为 0，平行物面速度分量直接取内场点值，垂直物面速度分量取负的内场点值。

**角点处理方式：**（以左上角点为例）角点处 4 个虚拟点的值按照如下图所示的方式给定。



### 3 计算结果

#### 3.1 OpenMP 并行

为了加快计算速度，本文的程序采用 OpenMP 并行，通过移植，程序的并行效率如下表所示：

线程数	计算时间	加速比	并行效率
1	1.34E+02		
2	9.10E+01	1.47	73%
4	5.23E+01	2.55	64%
8	3.30E+01	4.05	51%

#### 3.2 不同格式计算结果的对比

本节考察 5 种格式，分别为：Roe、Steger-Warming、van Leer、WENO5 和 WCNS-E6E5。本例中涉及到 MUSCL 插值的地方选择限制器为 van Leer 限制器，MUSCL 插值系数  $\kappa=1/3$ ，为三阶迎风偏置插值。时间积分为 3 阶 TVD Runge-Kutta 方法，计算时间  $t=1s$ ，CFL 数取 0.3，网格节点数为  $201 \times 101$ ，Roe 格式熵修正系数取 0.1。

在计算过程中，由于角点处理的问题，导致计算压力出负，Roe 格式在钝体头部上下两侧的流场已经受到严重“污染”（头部红色高 Ma 斑块），图中结果显示 Steger-Warming 通量格式的计算结果较好，且鲁棒性高。这可能是由于 Steger-Warming 耗散较大，适合具有强激波，强间断的流动模拟。另外，两种 5 阶格式并不能体现出明显的精度优势，因为在激波主导的流动中，高阶格式也发生了降阶，高阶格式更适合于模拟分离流动，接触间断等，像双马赫反射算例。

为了考察压力出负是否是由于插值导致，本节还采用一阶精度 Roe 格式进行计算，得到的结果显示一阶结果流场中没有出负导致的斑块，但是激波的分辨率不高。

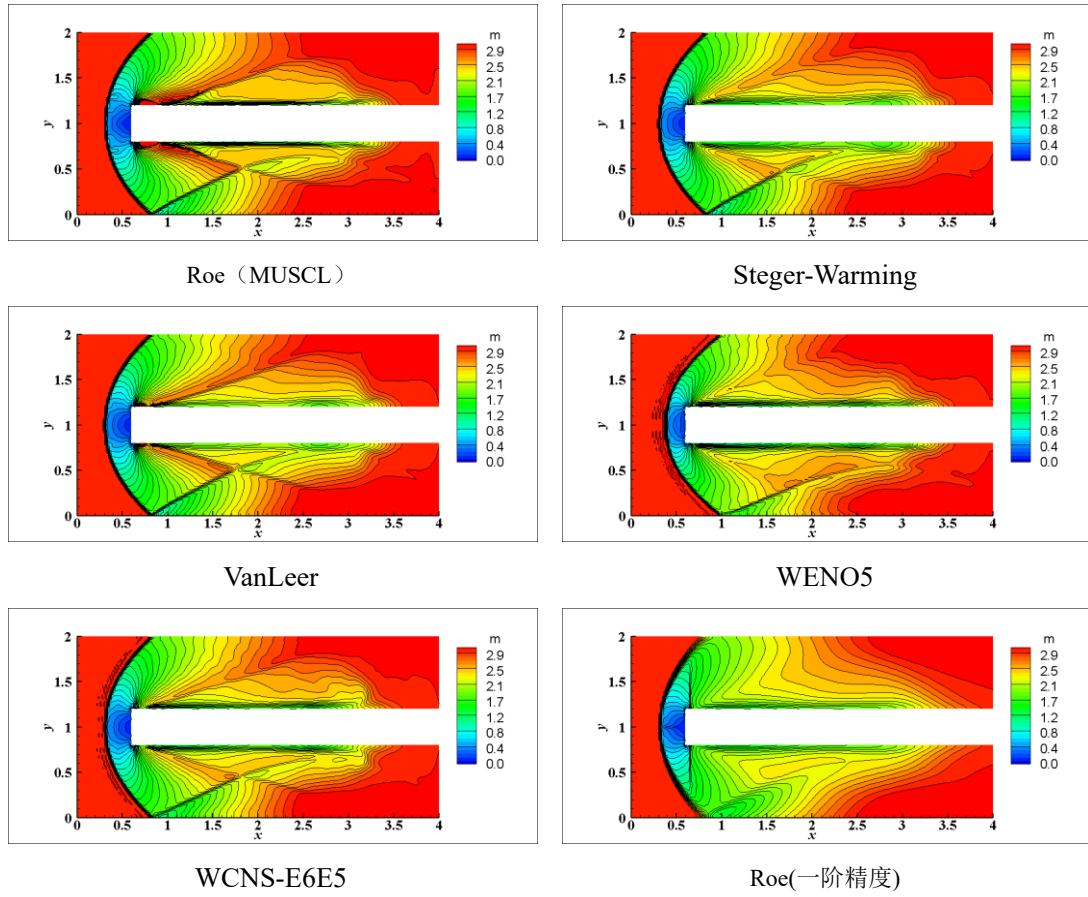
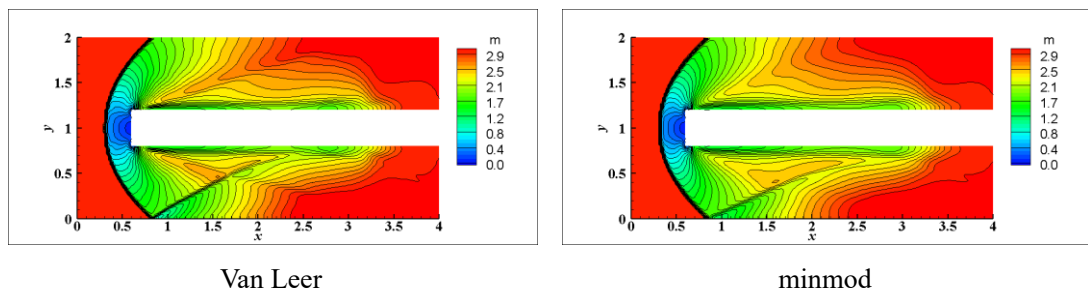


图 五种格式的求解结果

### 3.3 不同限制器的比较

根据 3.1 节的比较结果，本节选择 Steger-Warming 通量格式，考察三种不同的限制器，对比其结果差异，三种限制器分别为 vanLeer、minmod 和 superbee，1<sup>st</sup>-order 为一阶结果。网格节点数为  $201 \times 101$ 。

底部物面的反射激波的清晰程度可以反映出限制器的耗散大小。由结果可见，由于 superbee 的耗散最小，导致计算鲁棒性很差，计算压力出负导致流场被严重污染，而 vanLeer 和 minmod 限制均能够稳定计算，1<sup>st</sup>-order 一阶结果已经将底部物面的反射激波耗散掉了，无法清晰分辨激波。



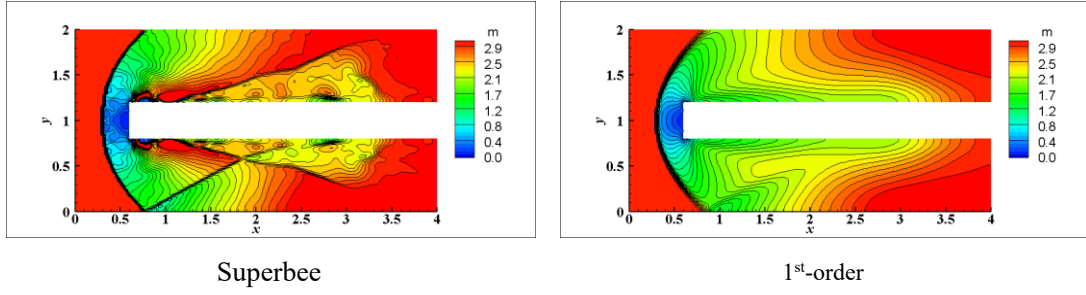


图 三种限制器的求解结果

### 3.4 不同时间精度的比较

本节选择 Steger-Warming 格式，van Leer 限制器，考察 RK1、TVD-RK2 和 TVD-RK3 的计算结果差异，网格节点数为  $201 \times 101$ 。时间一阶精度的 RK1，计算发散，而时间二阶 TVD-RK2 和三阶 TVD-RK3 均能够正常计算，结果显示 TVD-RK3 结果激波清晰程度略高，但是优势并不明显，因为空间精度只有二阶，因此在后续计算时选择 TVD-RK2 即可达到要求的精度。

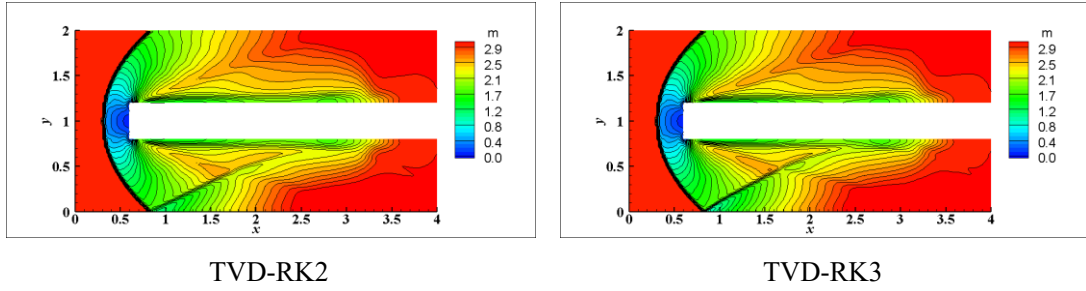
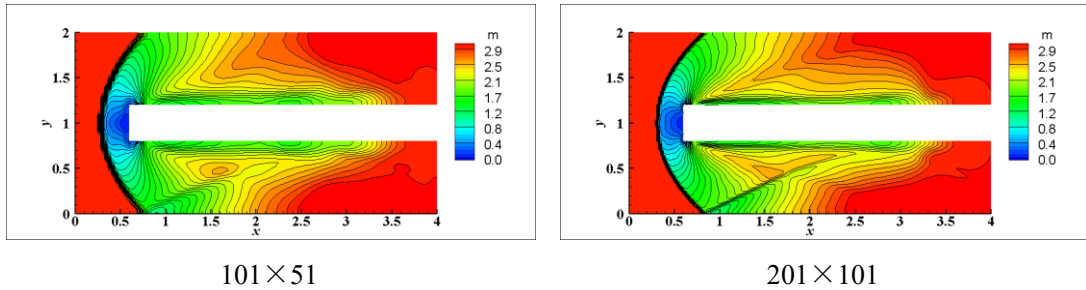


图 三种时间精度的求解结果

### 3.5 不同网格密度的比较

本节选择 Steger-Warming 格式，vanLeer 限制器，时间精度取 TVD-RK2，考察网格密度的影响。网格节点数为  $101 \times 51$ 、 $201 \times 101$ 、 $401 \times 201$ 、 $801 \times 401$ 。结果显示，网格密度越大，激波位置越精细。



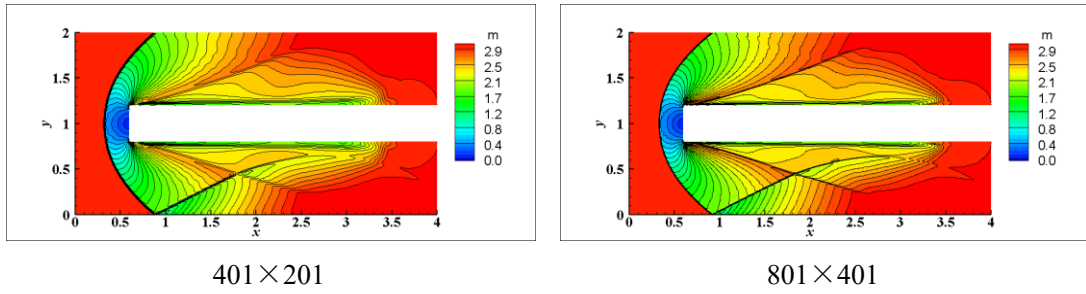
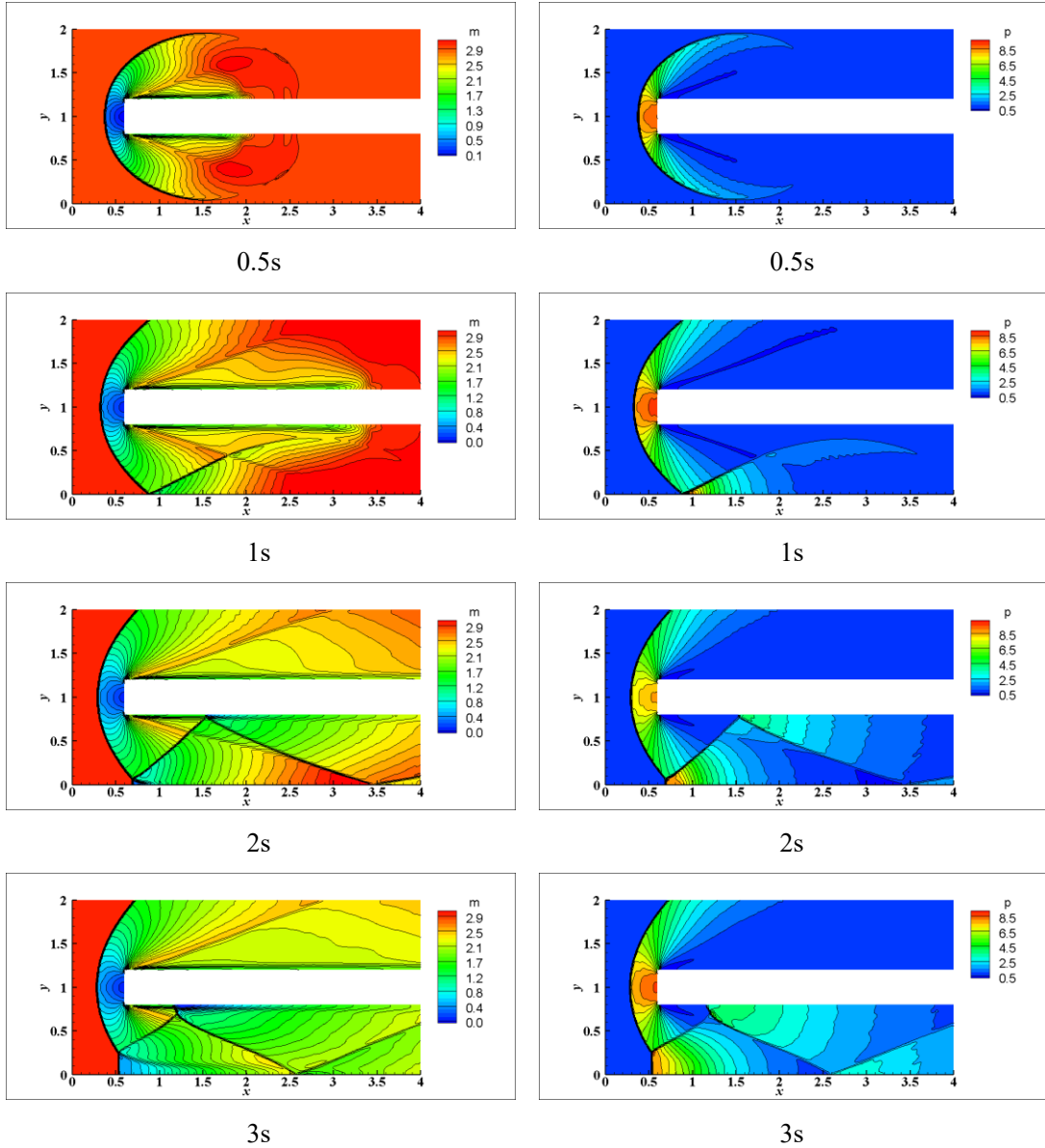


图 网格密度的影响

### 3.6 不同时刻的流场

本节选择 Steger-Warming 格式，vanLeer 限制器，时间积分取 TVD-RK2，网格节点数为  $401 \times 201$ ，模拟时间分别为 0.5s、1s、2s、3s、4s、5s、6s 和 10s，结果显示出了激波在不同时刻的演化过程，流动由非定常过程过渡到最终的定常状态。



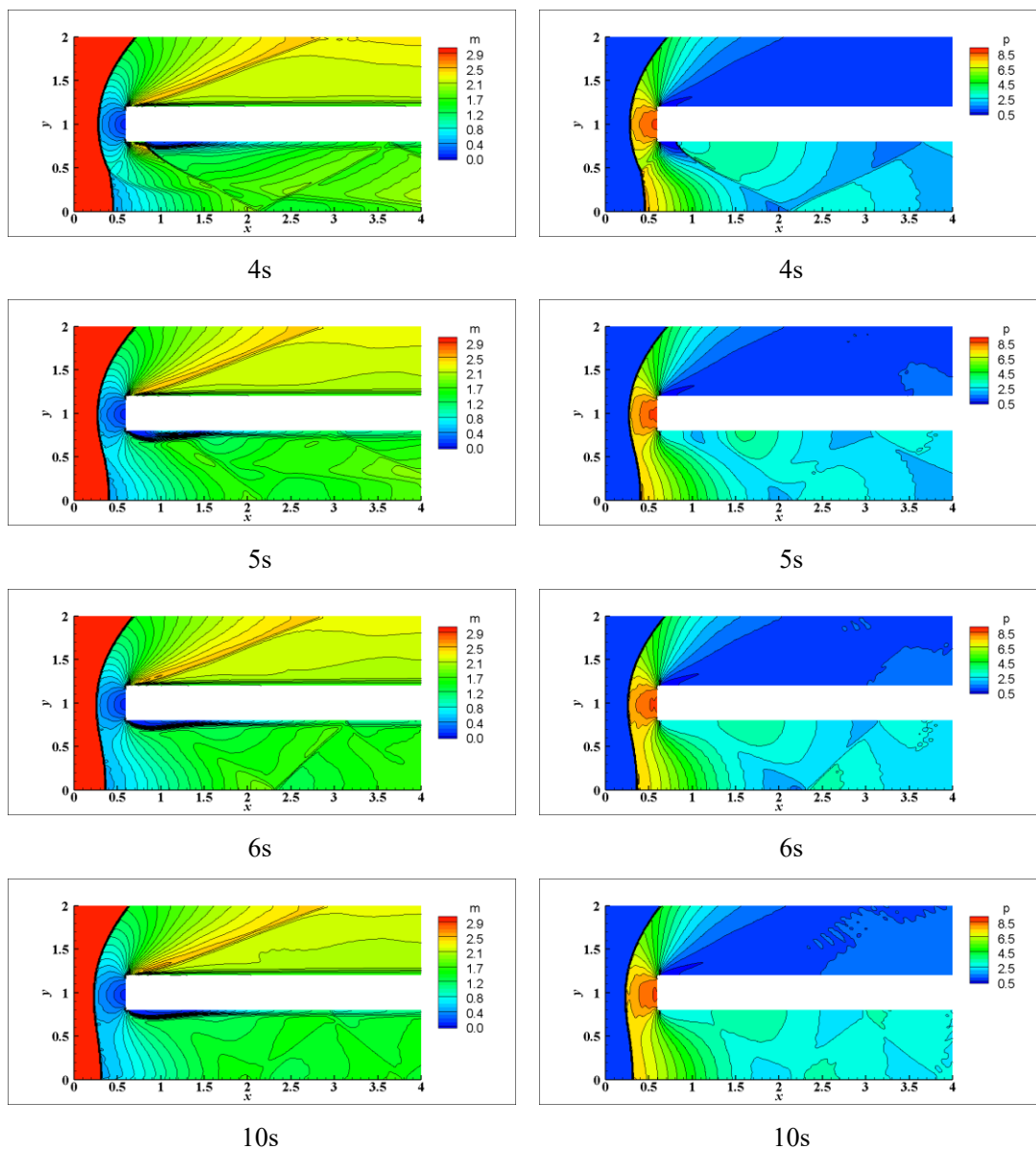


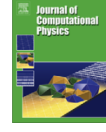
图 不同时刻的计算结果

## 4 附录：

程序源码 github 仓库：[nianhuawong/2D\\_Euler\\_Solver \(github.com\)](https://github.com/nianhuawong/2D_Euler_Solver)

### 4.1 双马赫反射算例

双马赫反射算例其实比平头钝体算例更简单，平头钝体需要设置的无穿透物面边界条件，以及设置计算点的标记还比较麻烦，而双马赫反射的全场点参与计算，而且边界条件也要简单得多。其算例设置可参考文献：



## Very-high-order WENO schemes

G.A. Gerolymos<sup>\*</sup>, D. S  n  chal, I. Vallet

*Institut d'Alembert, Case 161, Universit   Pierre et Marie Curie (UPMC), 4 place Jussieu, 75005 Paris, France*

### ARTICLE INFO

#### Article history:

Received 12 January 2009  
Received in revised form 2 July 2009  
Accepted 11 July 2009  
Available online 24 September 2009

#### Keywords:

High-order schemes  
WENO schemes  
Smoothness indicators  
Euler equations  
Hyperbolic conservation laws

### ABSTRACT

We study WENO(2r−1) reconstruction [D.S. Balsara, C.W. Shu, Monotonicity preserving WENO schemes with increasingly high-order of accuracy, J. Comput. Phys. 160 (2000) 405–452], with the mapping (WENOM) procedure of the nonlinear weights [A.K. Henrick, T.D. Aslam, J.M. Powers, Mapped weighted-essentially-non-oscillatory schemes: achieving optimal order near critical points, J. Comput. Phys. 207 (2005) 542–567], which we extend up to WENO17 (r=9). We find by numerical experiment that these procedures are essentially nonoscillatory without any stringent CFL limitation (CFL ∈ [0.8, 1]), for scalar hyperbolic problems (both linear and scalar conservation laws), provided that the exponent p<sub> </sub> in the definition of the Jiang–Shu [G.S. Jiang, C.W. Shu, Efficient implementation of weighted ENO schemes, J. Comput. Phys. 126 (1996) 202–228] nonlinear weights be taken as p<sub> </sub> = r, as originally proposed by Liu et al. [X.D. Liu, S. Osher, T. Chan, Weighted essentially nonoscil-

### 8.3.3. Woodward–Colella double-Mach-reflection of a strong shockwave

This test-case, introduced by Woodward and Colella [26], solves the 2-D Euler equations in the domain  $x \in [0, 4]$ ,  $y \in [0, 1]$ , with ICS corresponding to a  $M_{sw}=10$  shockwave, inclined at 60° with respect to the x-axis, and propagating to the right, against a region of still air (state  $\underline{v}_B$ ),

$$\underline{v}(x, y, t = 0) = \underline{v}_0(x, y) = \begin{cases} \underline{v}_A := [8, 8.25 \cos \frac{\pi}{6}, -8.25 \sin \frac{\pi}{6}, 116.5]^T & x \leq \frac{1}{6} + \frac{y}{\tan \frac{\pi}{3}} \\ \underline{v}_B := [1.4, 0, 0, 1]^T & x > \frac{1}{6} + \frac{y}{\tan \frac{\pi}{3}} \end{cases} \quad (60)$$

where  $\underline{v}_A$  corresponds to the state trailing behind the right-moving shockwave. The boundary-conditions correspond to the exact shockwave motion at the upper boundary ( $y = 1$ ), fixed state  $\underline{v}_B$  at inflow and in the region  $0 \leq x \leq \frac{1}{6}$  on the lower boundary ( $y = 0$ ), continued by a reflecting wall ( $x > \frac{1}{6}$ )

$$\underline{v}(x = 0, y, t) = \underline{v}_A \quad \forall t, y \quad (61a)$$

$$\underline{v}(0 \leq x \leq x_{sw_u}(t), y = 1, t) = \underline{v}_A \quad \forall t \quad (61b)$$

$$\underline{v}(x_{sw_u}(t) < x \leq 4, y = 1, t) = \underline{v}_B \quad \forall t \quad (61c)$$

$$\underline{v}\left(0 \leq x \leq \frac{1}{6}, y = 0, t\right) = \underline{v}_A \quad \forall t \quad (61d)$$

$$\partial_x \underline{v}(x = 4, y, t) = 0 \quad \forall t, y \quad (61e)$$

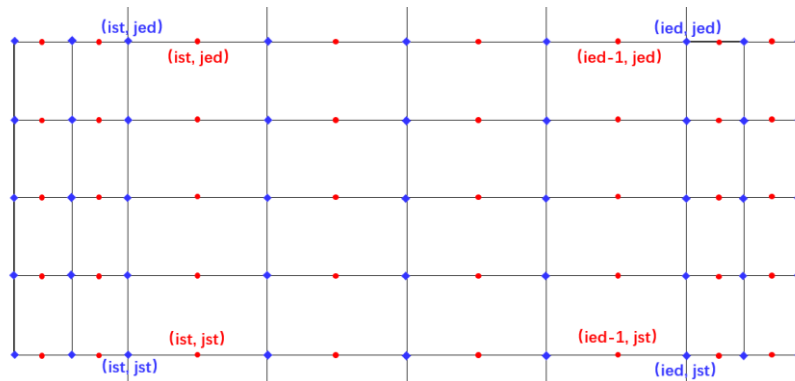
$$\begin{bmatrix} \partial_y \rho \\ \partial_y u \\ v \\ \partial_y p \end{bmatrix} \left( \frac{1}{6} < x \leq 4, y = 0, t \right) = \begin{bmatrix} 0 \\ 0 \\ 0 \\ 0 \end{bmatrix} \quad \forall t \quad (61f)$$

where

$$x_{sw_u}(t) = \frac{1}{6} + \frac{1}{\tan \frac{\pi}{3}} + s_{sw_x} t; \quad s_{sw_x} = \frac{s_{sw}}{\sin \frac{\pi}{3}}; \quad s_{sw} = 10 \quad (61g)$$

is the instantaneous shockwave location on the upper boundary ( $y = 1$ ).

网格虚拟点设置如下:





以下给出了 WCNS-E6E5 格式的 4 阶边界通量和 4 阶边界插值格式。

显格式 WCNS-E-5:

$$E'_j = \frac{75}{64h}(\tilde{E}_{j+1/2} - \tilde{E}_{j-1/2}) - \frac{25}{384h}(\tilde{E}_{j+3/2} - \tilde{E}_{j-3/2}) + \frac{3}{640h}(\tilde{E}_{j+5/2} - \tilde{E}_{j-5/2})$$

为了与 5 阶精度内点格式相匹配,在边界和边界附近采用显式 4 阶精度格式:

$$E'_1 = \frac{1}{24h}(-22\tilde{E}_{1/2} + 17\tilde{E}_{3/2} + 9\tilde{E}_{5/2} - 5\tilde{E}_{7/2} + \tilde{E}_{9/2}) \quad (2.24)$$

$$E'_2 = \frac{1}{24h}(\tilde{E}_{1/2} - 27\tilde{E}_{3/2} + 27\tilde{E}_{5/2} - \tilde{E}_{7/2})$$

$$E'_{N-1} = -\frac{1}{24h}(\tilde{E}_{N+1/2} - 27\tilde{E}_{N-1/2} + 27\tilde{E}_{N-3/2} - \tilde{E}_{N-5/2})$$

$$E'_N = -\frac{1}{24h}(-22\tilde{E}_{N+1/2} + 17\tilde{E}_{N-1/2} + 9\tilde{E}_{N-3/2} - 5\tilde{E}_{N-5/2} + \tilde{E}_{N-7/2})$$

摘自张毅锋博士论文

边界插值格式:

$$\tilde{U}_{1/2} = \frac{1}{16}(5U_0 + 15U_1 - 5U_2 + U_3)$$

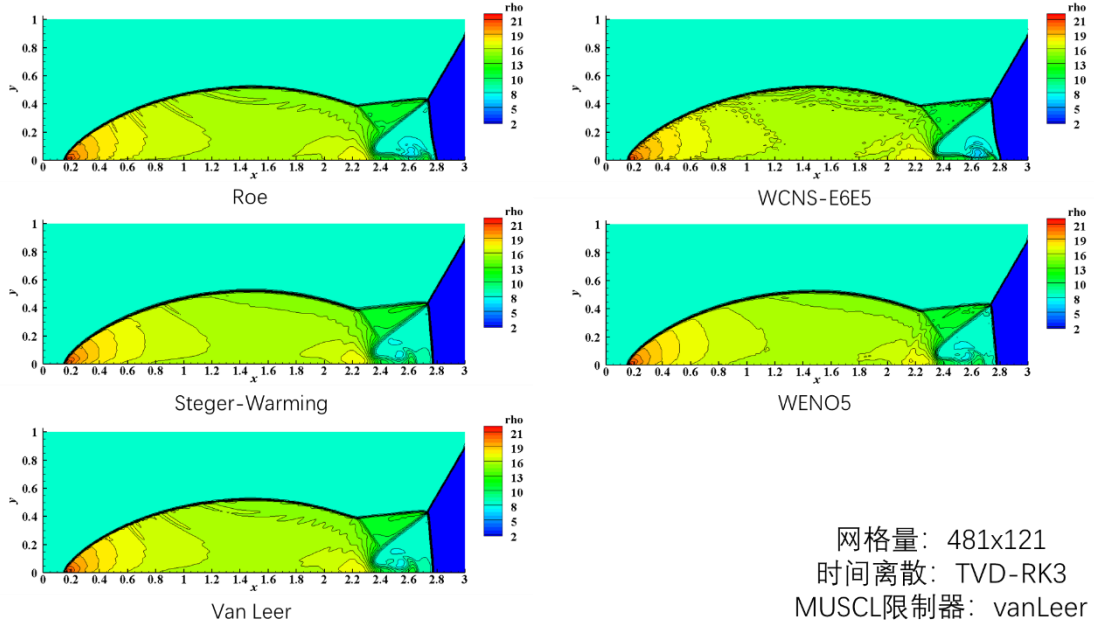
$$\tilde{U}_{3/2} = \frac{1}{16}(-U_0 + 9U_1 + 9U_2 - U_3)$$

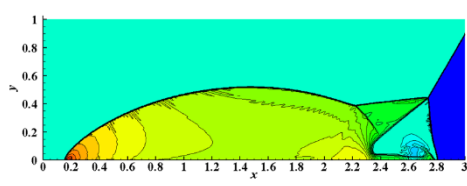
$$\tilde{U}_{N-1/2} = \frac{1}{16}(-U_{N+1} + 9U_N + 9U_{N-1} - U_{N-2})$$

$$\tilde{U}_{N+1/2} = \frac{1}{16}(5U_{N+1} + 15U_N - 5U_{N-1} + U_{N-2})$$

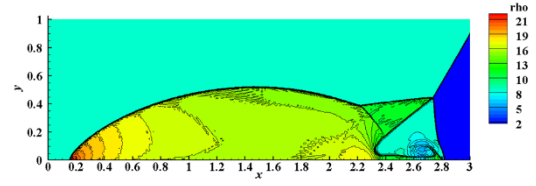
(2.25)

以下给出了几种格式在几套逐次加密的网格计算得到的结果,具体就不再详细分析了。

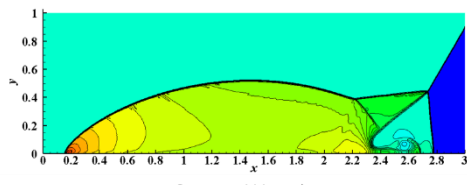




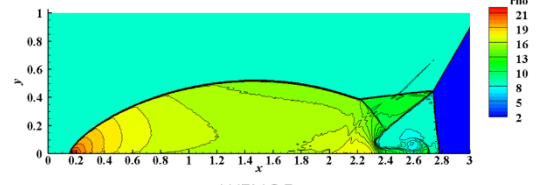
Roe



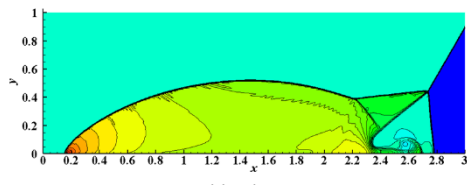
WCNS-E6E5



Steger-Warming

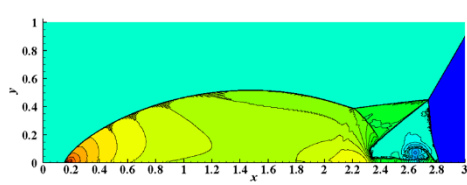


WENO5

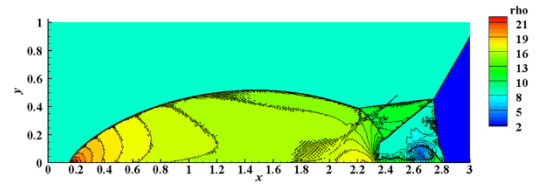


Van Leer

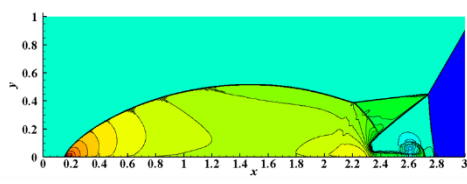
网格量: 961x241  
时间离散: TVD-RK3  
MUSCL限制器: vanLeer



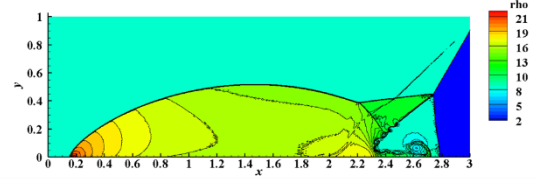
Roe



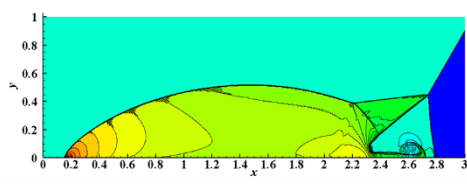
WCNS-E6E5



Steger-Warming

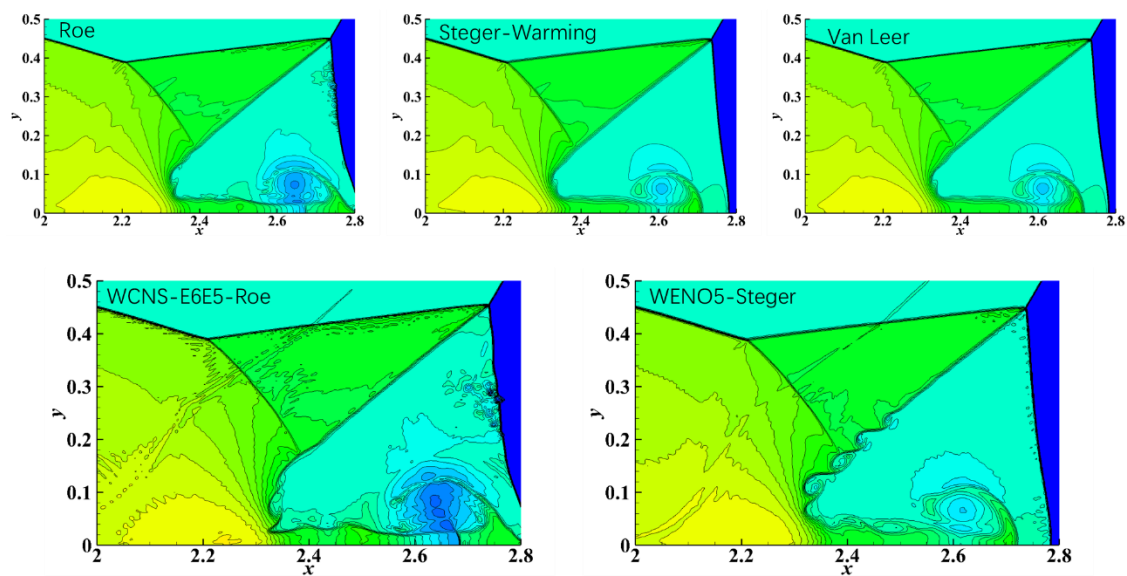


WENO5



Van Leer

网格量: 1921x481  
时间离散: TVD-RK3  
MUSCL限制器: vanLeer



网格量：1921x481，时间离散：TVD-RK3，MUSCL限制器：vanLeer

以下是论文中采用高阶 WENO5、WENO11 和 WENO17 高阶格式计算得到的结果。

